

1. Байдак Д. А., Зорий Л. М. Один способ обоснования динамического метода исследования упругих систем. — Мат. методы и физ.-мех. поля, 1975, вып. 1, с. 89—98.
2. Балинский А. И.; Зорий Л. М. К исследованию зависимости низших частот деформируемых систем от параметров. — Физ.-хим. механика материалов, 1971, 7, № 3, с. 99—100.
3. Болотин В. В. Неконсервативные задачи теории упругой устойчивости. — М.: Физматгиз, 1961. — 339 с.
4. Зорий Л. М. К развитию аналитических методов исследования задач динамики упругих и гидроупругих систем. — Мат. методы и физ.-мех. поля, 1978, вып. 7, с. 16—20.
5. Зорий Л. М. Про одне зображення характеристичних рівнянь деяких крайових задач для систем з розподіленими параметрами. — Доп. АН УРСР. Сер. А, 1968, № 12, с. 1072—1075.
6. Попов Б. О., Монцібович Б. Р. Розв'язання задач на машинах для інженерних розрахунків. — К.: Наук. думка, 1978. — 347 с.
7. Чудновский В. Г. Методы расчета колебаний и устойчивости стержневых систем. — Киев: Изд-во АН УССР, 1952. — 416 с.

Институт прикладных проблем
механики и математики АН УССР
Физико-механический институт
им. Г. В. Карпенко АН УССР

Поступила в редколлегию
21.05.79

УДК 539.3 : 534.26

Е. А. Вдович

ОПТИМИЗАЦИЯ ИМПУЛЬСА ПЕРИОДИЧЕСКОЙ ЗВУКОВОЙ ВОЛНЫ, ПАДАЮЩЕЙ НА УПРУГИЙ СЛОЙ В АКУСТИЧЕСКОЙ СРЕДЕ

Рассмотрим упругий слой (среда 2) толщины $2h$, контактирующий со стороны плоскопараллельных границ $z = \pm h$ с акустической средой, характеристики которой для $z > h$ (среда 1) равны ρ_1, c_1 , а для $z < -h$ (среда 3) — ρ_3, c_3 (ρ_i, c_i — плотность и скорость продольных волн в i -й среде). В среде 1 на расстоянии $z = z_0$ ($z_0 \gg h$) расположена плоскость сосредоточенных массовых сил вида $\vec{F} = \left\{ 0, 0, k_0 f(t) \cos\left(\frac{\omega y}{c_1}\right) \frac{d}{dz} \delta(z - z_0) \right\}$, возбуждающих периодический по координате y импульс продолжительности t_1 , который достигает поверхности $z = h$ в момент времени $t = \frac{z_0 - h}{c_1}$.

Задача определения отраженной волны, возникшей в результате взаимодействия звукового импульса с упругим слоем, с использованием метода разделения переменных [1] сводится к решению системы волновых уравнений

$$\frac{\partial^2 \Phi_i}{\partial \xi^2} - \kappa_i^2 \frac{\partial^2 \Phi_i}{\partial \tau^2} - a^2 \omega^2 \Phi_i = n_0 f_i(\tau) \delta(\xi - \xi_0), \quad (1)$$

$$\frac{\partial^2 \Psi}{\partial \xi^2} - c^2 \frac{\partial^2 \Psi}{\partial \tau^2} - a^2 \omega^2 \Psi = 0 \quad (i = \overline{1, 3}) \quad (2)$$

с условиями сопряжения на границах раздела

$$\begin{aligned} \frac{\partial \Phi_1}{\partial \xi} &= \frac{\partial \Phi_2}{\partial \xi} + a\omega\Psi, \quad \frac{\partial^2 \Phi_1}{\partial \tau^2} + n_0 \kappa^{-2} f(\tau) \delta(\xi - \xi_0) = \\ &= m_1 \left[\frac{\partial^2 \Phi_2}{\partial \tau^2} + 2c^{-2} a\omega \left(a\omega \Phi_2 + \frac{\partial \Psi}{\partial \xi} \right) \right] \quad \text{при } \xi = 1; \end{aligned} \quad (3)$$

$$\frac{\partial \Phi_3}{\partial \xi} = \frac{\partial \Phi_2}{\partial \xi} + a\omega\Psi, \quad \frac{\partial^2 \Phi_3}{\partial \tau^2} = m_3 \left[\frac{\partial^2 \Phi_2}{\partial \tau^2} + 2c^{-2} a\omega \left(a\omega \Phi_2 + \frac{\partial \Psi}{\partial \xi} \right) \right] \quad (4)$$

при $\xi = -1$;

$$\frac{\partial^2 \Psi}{\partial \tau^2} - 2c^{-2} \left(\frac{\partial^2 \Psi}{\partial \xi^2} + a\omega \frac{\partial \Phi_2}{\partial \xi} \right) = 0 \quad \text{при } \xi = \pm 1; \quad (5)$$

условиями затухания на бесконечности

$$\lim_{\xi \rightarrow \infty} \Phi_1 = 0, \quad \lim_{\xi \rightarrow -\infty} \Phi_3 = 0 \quad (6)$$

и начальными условиями

$$\Phi_i(\xi, 0) = 0, \quad \frac{\partial \Phi_i(\xi, 0)}{\partial \tau} = 0, \quad \Psi(\xi, 0) = 0, \quad \frac{\partial \Psi(\xi, 0)}{\partial \tau} = 0. \quad (7)$$

Здесь $f_1(\tau) = f(\tau)$; $f_2(\tau) = f_3(\tau) \equiv 0$; $\Phi_i(\xi, \tau) = \frac{\Phi_i^*(\xi, \eta, \tau)}{\cos(a\omega\eta)}$; $\Psi(\xi, \tau) = \frac{\Psi^*(\xi, \eta, \tau)}{\cos(a\omega\eta)}$; $\xi = \frac{z}{h}$; $\eta = \frac{y}{h}$; $\tau = \frac{c_2 t}{h}$; $\kappa_1 = \frac{c_2}{c_1}$; $\kappa_2 = 1$; $\kappa_3 = \frac{c_2}{c_3}$; $m_1 = \frac{\rho_2}{\rho_1}$; $m_3 = \frac{\rho_3}{\rho_3}$; $a = \frac{h}{c_1}$; $c = \frac{c_2}{c_3}$; $f(\tau)$ — искомая функция управления; $\Phi_i^*(\xi, \eta, \tau)$ — скалярные потенциалы перемещений в i -й среде; $\Psi^*(\xi, \eta, \tau)$ — компонента векторного потенциала перемещений в среде 2; c_3 — скорость поперечных волн в среде 2; ω — частота периодических колебаний; k_0, n_0 — множители, имеющие размерности силы и скалярного потенциала перемещений соответственно.

Потенциал Φ_1 представим суммой двух составляющих $\Phi_1 = \Phi_1^1 + \Phi_1^2$, где Φ_1^1 — скалярный потенциал перемещений падающей волны; Φ_1^2 — скалярный потенциал перемещений отраженной волны.

Задача (1) — (7) решается с помощью представления каждой из иско- мых функций в виде ряда по малому параметру

$$\Phi_i = \Phi_{i0} + \sum_{m=1}^{\infty} \varepsilon^m \Phi_{im}, \quad \Psi = \Psi_0 + \sum_{m=1}^{\infty} \varepsilon^m \Psi_m, \quad f = f_0 + \sum_{m=1}^{\infty} \varepsilon^m f_m, \quad (8)$$

где $\varepsilon = a\omega$.

Ограничимся нахождением решений в нулевом и первом приближениях. В нулевом приближении решения рассматриваемой задачи с точностью до момента отсчета времени совпадают с решениями задачи нормального па- дения плоской волны на упругий слой в акустической среде [2]. В первом приближении решения задачи (1) — (7) находятся на основании резуль- татов данной задачи в нулевом приближении и для соответствующих обла- стей имеют вид

$$\Phi_{11}^1(\xi, \tau) = -n_0(1 + \varepsilon) \int_0^{\varphi_0} f_0(t) dt, \quad (9)$$

$$\Phi_{11}^2(\xi, \tau) = -n_0(1 + \varepsilon) \left\{ M \int_0^{\varphi_1} f_0(t) dt + L \sum_{n=0}^{k-1} N^n \int_0^{\varphi_1 - 4(n+1)} f_0(t) dt \right\}, \quad (10)$$

$$\Phi_{21}(\xi, \tau) = -\frac{n_0(1 + \varepsilon)}{\kappa m + 1} \sum_{n=0}^{\infty} N^n \left\{ \int_0^{\varphi_2 - 4n} f_0(t) dt - M \int_0^{\varphi_3 - 4n} f_0(t) dt \right\}, \quad (11)$$

$$\Phi_{31}(\xi, \tau) = -\frac{2mn_0}{\kappa m + 1} (1 + \varepsilon) \sum_{n=0}^{\infty} N^n \int_0^{\varphi_4 - 2(1+2n)} f_0(t) dt. \quad (12)$$

Следует отметить, что компонента векторного потенциала перемещений Ψ в первом приближении отлична от нуля и определяется формулой

$$\begin{aligned} \Psi_1(\xi, \tau) = & -\frac{2n_0\varepsilon}{(\kappa m + 1)c^2} \sum_{n=0}^{\infty} N^n \sum_{k=0}^{\infty} \left\{ \frac{2\kappa m}{\kappa m + 1} \left[\int_0^{\varphi_5 - \lambda_1} f_0(t) (\varphi_5 - \lambda_1 - t) dt - \right. \right. \\ & - \int_0^{\varphi_6 - \lambda_1} f_0(t) (\varphi_6 - \lambda_1 - t) dt \left. \right] - \int_0^{\varphi_7 - \lambda_2} f_0(t) (\varphi_7 - \lambda_2 - t) dt + \\ & + \int_0^{\varphi_8 - \lambda_2} f_0(t) (\varphi_8 - \lambda_2 - t) dt - M \left[\int_0^{\varphi_7 - \lambda_3} f_0(t) (\varphi_7 - \lambda_3 - t) dt - \right. \\ & \left. \left. - \int_0^{\varphi_8 - \lambda_3} f_0(t) (\varphi_8 - \lambda_3 - t) dt \right] \right\}. \quad (13) \end{aligned}$$

Здесь

$$\begin{aligned} \varphi_0 &= \varphi_0(\xi, \tau) = \tau - \kappa |\xi_0 - \xi|; & \varphi_1 &= \varphi_1(\xi, \tau) = \tau - \kappa(\xi + \xi_0 - 2); \\ \varphi_2 &= \varphi_2(\xi, \tau) = \tau - \kappa(\xi_0 - 1) - (1 - \xi); & \varphi_3 &= \varphi_3(\xi, \tau) = \tau - \kappa(\xi_0 - 1) - \\ & & & - (3 + \xi); \\ \varphi_4 &= \varphi_4(\xi, \tau) = \tau - \kappa(\xi_0 - \xi - 2); & \varphi_5 &= \varphi_5(\xi, \tau) = \tau - \kappa(\xi_0 - 1) - c(3 - \xi); \\ \varphi_6 &= \varphi_6(\xi, \tau) = \tau - \kappa(\xi_0 - 1) - c(1 + \xi); & \varphi_7 &= \varphi_7(\xi, \tau) = \tau - \kappa(\xi_0 - 1) - \\ & & & - c(1 - \xi); \\ \varphi_8 &= \varphi_8(\xi, \tau) = \tau - \kappa(\xi_0 - 1) - c(3 + \xi); & \lambda_1 &= \lambda_1(k, n) = 2[1 + 2(n + kc)]; \\ \lambda_2 &= \lambda_2(k, n) = 4(n + kc); & \lambda_3 &= \lambda_3(k, n) = 4(1 + n + kc); & M &= \frac{\kappa m - 1}{\kappa m + 1}; \\ N &= \left(\frac{\kappa m - 1}{\kappa m + 1} \right)^2; & L &= - \frac{4\kappa m(\kappa m - 1)}{(\kappa m + 1)^2} \quad (\kappa = \kappa_1 = \kappa_3, m = m_1 = m_3). \end{aligned}$$

В частности, когда среда 2 есть абсолютно жесткое или абсолютно мягкое тело [4], можно получить точные решения для потенциалов перемещений отраженных волн от абсолютно жесткого и абсолютно мягкого тел соответственно:

$$\Phi_1^2 = - \frac{n_0}{1 - \varepsilon} \int_0^{\varphi_1} f_0(t) dt, \quad \Phi_1^2 = \frac{n_0}{1 - \varepsilon} \int_0^{\varphi_1} f_0(t) dt. \quad (14)$$

Оптимальный закон изменения падающего импульса, обеспечивающего максимальную энергию отраженной волны, найдем с учетом представлений (8) из условия минимума разности энергий падающей и отраженной волн при $\xi = 1 + 0$:

$$I = \frac{\beta \rho_1^2 c_2^4}{2h^4} \int_0^{\tau_1} \left[\left(\frac{\partial^2 \Phi_1^1}{\partial \tau^2} \right)^2 - \left(\frac{\partial^2 \Phi_1^2}{\partial \tau^2} \right)^2 \right] d\tau,$$

где β — сжимаемость акустической среды. Оптимальные решения в нулевом приближении аналогичны решениям задачи оптимизации нормально падающего звукового импульса в системе акустическая среда — упругий слой [2]. Оптимальное давление в падающем импульсе и соответствующее давление в дифракционной волне в первом приближении определяются на основании оптимальных решений рассматриваемой задачи в нулевом приближении.

Тогда в первом приближении для падающего звукового импульса продолжительность $\kappa(\xi_0 - 1) < \tau_1 \leq 4 + \kappa(\xi_0 - 1)$ функция управления определяется из полинома

$$\int_0^{\tau - \kappa(\xi_0 - 1)} f_0(t) S_+(t) dt = c_0 + c_1 \tau + c_2 \tau^2 + c_3 \tau^3 \quad (\kappa(\xi_0 - 1) \leq \tau \leq \tau_1). \quad (15)$$

Скалярные потенциалы перемещений падающей и отраженной волн согласно (9), (10) представляются формулами

$$\Phi_{11}^1 = (1 + \varepsilon) \frac{P_0 h^2}{2\rho_1 c_2^2 \tau_1} \tau^2, \quad \Phi_{11}^2 = - (1 + \varepsilon) M \frac{P_0 h^2}{2\rho_1 c_2^2 \tau_1} \tau^2. \quad (16)$$

Здесь P_0 — суммарное давление в падающей волне за время τ_1 . Переходя согласно работе [3] от скалярных потенциалов к давлению, получаем, что в данном случае оптимальный падающий импульс имеет постоянную интенсивность во времени и с учетом результатов работы [1] определяется формулой

$$\mathcal{P}_{11}^1(\xi, \eta, \tau) = (1 + \varepsilon) \frac{P_0}{\tau_1} \cos(a\omega\eta). \quad (17)$$

Для импульса продолжительности $4 + \kappa(\xi_0 - 1) < \tau_1 \leq 8 + \kappa(\xi_0 - 1)$ функция управления будет такой:

$$\int_0^{\tau - \kappa(\xi_0 - 1)} f_0(t) S_+(t) dt = \sum_{j=0}^3 \tau^j \{a_j S_+[4 + \kappa(\xi_0 - 1) - \tau] + b_j S_+[\tau - (4 + \kappa(\xi_0 - 1))]\}. \quad (18)$$

Оптимальное давление в падающем импульсе в этом случае изменяется по линейному закону

$$\mathcal{P}_{11}^* (\xi, \eta, \tau) = (1 + \varepsilon) \frac{2P_0 (T_1 - 3T_2\tau)}{\tau_1 (2T_1 - 3T_2\tau_1)} \cos(a\omega\eta) \quad (\kappa(\xi_0 - 1) \leq \tau \leq \tau_1). \quad (19)$$

Давление в отраженной волне представляется в виде

$$\mathcal{P}_{11}^2 (\xi, \eta, \tau) = (1 + \varepsilon) \frac{2P_0}{\tau_1 (2T_1 - 3T_2\tau_1)} \{M(T_1 - 3T_2\tau) S_+[4 + \kappa(\xi_0 - 1) - \tau] + [MT_1 + 12LT_2 - 3(M + L)T_2\tau] S_+[\tau - (4 + \kappa(\xi_0 - 1))]\} \cos(a\omega\eta). \quad (20)$$

Здесь

$$T_1 = [1 - (M + L)^2] \tau_1^3 + 24L(M + L) \tau_1^2 - 48L(3L + M) \tau_1 + 128L(2L - M);$$

$$T_2 = 8L(M + L)(\tau_1 - 4 - \kappa(\xi_0 - 1)).$$

В качестве примера рассмотрим систему, когда акустической средой является вода, а упругий слой изготовлен из стали или алюминия. Для зондирующего импульса продолжительности $\kappa(\xi_0 - 1) < \tau_1 \leq 4 + \kappa(\xi_0 - 1)$ давление в геометрически отраженной волне от стального слоя будет $\mathcal{P}_{10}^2 = 0,231P_0$ в нулевом приближении и $\mathcal{P}_{11}^2 = 0,244P_0$ в первом приближении. Давление в первом отраженном сигнале от слоя, изготовленного из алюминия, в нулевом приближении будет $\mathcal{P}_{10}^2 = 0,210P_0$, и $\mathcal{P}_{11}^2 = 0,222P_0$

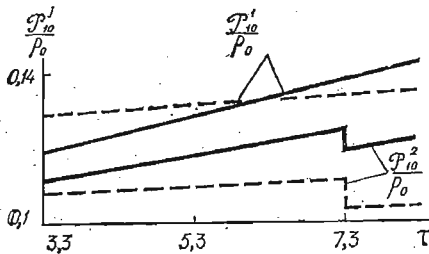


Рис. 1

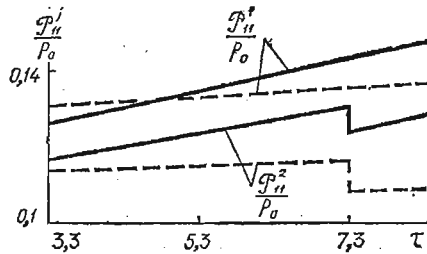


Рис. 2

в первом приближении. На рис. 1, 2 приведено оптимальное распределение давления в падающем импульсе и в дифракционной волне для импульса продолжительности $\tau_1 = 8,366$ в нулевом и первом приближениях. Сплошные линии соответствуют случаю стального слоя, штриховые — случаю слоя, изготовленного из алюминия. В частности, при $\kappa(\xi_0 - 1) < \tau_1 \leq 4 + \kappa(\xi_0 - 1)$ давление в отраженной волне от абсолютно жесткого слоя будет $\mathcal{P}_1^2 = 0,242P_0$, от абсолютно мягкого $\mathcal{P}_1^2 = -0,242P_0$. Для импульса продолжительности $4 + \kappa(\xi_0 - 1) < \tau_1 \leq 8 + \kappa(\xi_0 - 1)$ давления в отраженных волнах от абсолютно жесткого и абсолютно мягкого слоев будут соответственно $\mathcal{P}_1^2 = 0,128P_0$ и $\mathcal{P}_1^2 = -0,128P_0$. Все расчеты проведены при частоте периодических колебаний $\omega = 10^2 \text{ с}^{-1}$. Численные результаты в первом приближении отличаются от численных результатов нулевого приближения на 5—6%. Для частот $\omega < 10^2 \text{ с}^{-1}$ эта разница уменьшается.

1. Гузь А. Н., Кубенко В. Д., Черевко М. А. ~~Динамика упругих тел~~. — Киев : Наук. думка, 1978. — 308 с.
2. Зозуляк Ю. Д., Вдович Е. А. Оптимизация ~~структуры~~ ~~структуры~~ волны в системе акустическая среда — упругий слой. — ~~Мат. механика и приклад. мех.~~ поля, 1979, вып. 9, с. 96—99.
3. Скучик Е. Основы акустики. — М. : Мир, 1978. — 72 с.
4. Эхо-сигналы от упругих объектов / У. К. ~~Халитов~~ ~~Халитов~~, Н. Д. Векслер, М. Э. Кутсер. — Таллин : Изд-во АН ЭССР, 1978. — 72 с.

Институт прикладных проблем
механики и математики АН УССР

Поступила в редколлегию
05.12.80

УДК 530.12 : 531.18

Р. Я. Мацюк

ВАРИАЦИОННЫЙ ПРИНЦИП ДЛЯ РАВНОУСКОРЕННОГО ДВИЖЕНИЯ

Равноускоренное движение пробных частиц в специальной теории относительности интересно по двум причинам. Во-первых, существуют примеры такого движения в конкретных физических задачах [2], во-вторых, оно рассматривается в теории равноускоренных систем отсчета [5]. Определяющее уравнение мировой линии $x(t) = (x^1(t), x^2(t), x^3(t))$ равноускоренно движущейся частицы записано в работе [4] так:

$$\left[1 - \left(\frac{dx}{dt}\right)^2\right] \frac{d^3x}{dt^3} + 3 \frac{d^2x}{dt^2} \left(-\frac{d^2x}{dt^2} \cdot \frac{dx}{dt}\right) = 0. \quad (*)$$

С другой стороны, существует понятие геодезической окружности в (псевдо-)римановом пространстве V_k^n , которое изучается так называемой конциркулярной геометрией [1, 6]. Определяющее уравнение геодезической окружности $x(\tau) = (x^1(\tau), \dots, x^n(\tau))$, параметризованной параметром τ , не зависит от выбора параметра и имеет согласно работе [6] вид

$$\frac{D^3x^l}{ds^3} + g_{ij} \frac{D^2x^i}{ds^2} \frac{D^2x^j}{ds^2} \frac{Dx^l}{ds} = 0 \quad (l = 1, \dots, n), \quad (**)$$

где $ds = \sqrt{\frac{dx^i}{d\tau} \frac{dx^j}{d\tau} g_{ij} d\tau}$ и действует правило суммирования в пределах от 1 до n . Если в качестве параметра τ выбрать время $t \equiv x^4$, положив $\frac{dx^4}{d\tau} = 1$, то уравнения (*) и (**) становятся алгебраически эквивалентными (в четырехмерном пространстве — времени). Таким образом, мировые линии равноускоренных частиц совпадают с геодезическими окружностями. Последние можно охарактеризовать еще и тем свойством, что вдоль них первая кривизна постоянна, а все остальные равны нулю. В настоящей работе получено уравнение (векторное) третьего порядка, решения которого суть параметризованные геодезические окружности в V_k^2 и которое обладает тем дополнительным свойством, что может рассматриваться как уравнение экстремали вариационной задачи в параметрической форме с лагранжианом, включающим высшие производные. Это позволяет рассматривать двумерную конциркулярную геометрию с точки зрения пространства Кавагучи, геодезические которого, как известно, являются экстремали вариационного принципа с высшими производными. С другой стороны, открывается возможность построить механику Остроградского с высшими производными для равноускоренного движения в теории относительности.

В статье использованы матричные обозначения. Знаки « \otimes », « \odot » и « \wedge » обозначают соответственно тензорное, симметрическое и внешнее произведения. Запись $A \cdot B$ означает свертку матрицы A с матрицей B по всем парам соответствующих индексов, начиная справа. Для выполнения свертки